

研究論文

大韓熔接學會誌
第6卷, 第2號, 1988年6月
Journal of the Korean
Welding Society
Vol. 6, No. 2, Jun., 1988.

鋼熔接部의 表面龜裂 成長舉動에 關한 研究(I)

鄭世喜* · 林載圭* · 李宗基**

**A Study on Growth Behaviour of the Surface Crack
in Weld HAZ for Steel(I)**

S. H. Chung, J. K. Lim, J. K. Lee

Key Words; Surface Crack(표면균열), PWHT(우접후열처리), HAZ(용접열영향부), Aspect Ratio(형상비), Crack Growth Rate(균열진전속도), Stress Intensity Factor Range(응력확대계수범위)

Abstract

Generally, as the welded region of weld structures has the incomplete bead and welded deposit which are able to behave like the surface cracks occasionally, there is a high possibility that the fatigue fracture of the weld structures is due to the surface cracks on the welded region.

This study was done to investigate the effects of post weld heat treatment(PWHT) on the fatigue behaviors of the surface crack of the heat affected zone (HAZ) for the multi-pass welds under the repetitive pure bending moment.

The obtained results are summarized as follows:

1. The crack grows to the depth direction initially as the number of cycles increases, the amount of crack length is increased for the surface direction and vice versa for the depth direction.
2. The fatigue life is increased in a order of as weld, PWHT specimens and parent.
3. As the number of cycles increases, the crack length is increased to the surface direction. The increase of the depth length is blunted at the center of specimen thickness.
4. The fatigue crack growth of PWHT specimens to the surface direction is dependent upon the holding time and applied stress during PWHT. In other words, the crack growth rate decreases with the holding time and increases with the applied stress during PWHT.
5. As the crack grows, the aspect formed in the course of crack propagation approaches to semi-circle for parent and ellipse with the largest semidiameter for PWHT ($1/4\text{hr}$, 15kgf/mm^2)
6. At depth direction, it is difficult to apply to the Paris' equation because of the scattered data between the crack growth rate and the stress intensity factor range.

* 全北大學校

** 全北產業大學

1. 序論

熔接 機械構造物의 破損의 大部分은 熔接部, 特히 熔接熱影響部(heat affected zone: HAZ)에서 發生하며, 이原因은 熔接 热履歷의 相異와 熔接時의 周圍環境 여건에 따라서 非常複雜하고 多樣한 組織이 生成되어 硬度 및 韌性 等의 機械的 性質이 複雜하게 變化하고 있다.^{1~2)} 더구나 熔接時에 三軸性의 不均一한 殘留應力과 熔接變形이 複合的으로 作用하고 있어서 熔接施工時의 低溫龜裂, 熔接後熱處理(post weld heat treatment: PWHT) 과정에서의 再熱龜裂, 長時間 使用時의 끊임脆化 等이 發生함으로써 破壞韌性을 低下시키는 原因이 된다고 報告되고 있다.^{3~5)} 한편, 機械構造物, 壓力容器 等의 製作過程에서 多層熔接을 行하는 것이 불가피한 경 우가 많으며, 이 때에 發生하는 缺陷은 熔接構造物의 熔接部表面에 存在하는 것이 大部分이기 때문에 表面龜裂에 對해서 破壞力學的 解析을 行하는 것이 重要한 課題이다. 그러나 一般 金屬材에서 깊이방향의 龜裂길이 測定의 어려움과 有限板 表面龜裂에 對한 應力擴大係數의 理論的 解析이 困難함으로서, 이 分野에 對한 研究가 많이 行하여지지 않았다. 종래 表面龜裂에 對한 研究로서 Smith,⁶⁾ Kobayash,⁷⁾ Newman과 Raju⁸⁾ 等이 數值解析法으로 應力擴大係數를 구하였지만, 各者의 結果는 많은 差異가 나타났다.

따라서 本 研究에서는 熔接部의 表面으로부터 成長하는 疲勞龜裂에 對하여 Nishioka, Hirakawa,⁹⁾ Pierce¹⁰⁾ 等이 實驗的으로 구한 結果와 잘 일치하는 Newman과 Raju式을 利用하여서 熔接後熱處理時의 維持時間과 熔接部에 加한 壓縮應力이 表面龜裂의 傳播舉動에 어떤 影響을 미치는지 알아 보기 위하여 多層熔接材의 熔接熱影響部에 半橢圓 노치를 機械加工한 後, 純粹疲勞狀態에서 疲勞試驗을 行하고 熔接部에 存在하는 表面龜裂의 成長舉動을 考察하고자 한다.

2. 試驗片 및 實驗方法

2-1 試驗片

本 實驗에 使用된 材料는 板 두께 25mm의 SS41鋼板으로 化學的 成分과 機械的 性質은 Table 1과 같다.

먼저 板을 200mm×350mm의 小板으로 切斷한 後,

大韓熔接學會誌, 第 6 卷, 第 2 號, 1988年 6月

Table 1. Chemical composition and mechanical properties

A. Chemical composition (wt%)				
C	Si	Mn	P	S
0.19	0.06	0.64	0.012	0.014
B. mechanical properties				
Yield strength (kgf/mm ²)		Tensile strength (kgf/mm ²)		Elongation (%)
26.5		43.2		42.4

壓延方向과 直角으로 깊이 20mm의 45°톱날형 훔을 加工하였다. 노치부를 아세톤으로 깨끗히 닦아낸 다음 200°C까지 豫熱을 行한 後, 잠호용접기를 사용하여 Table 2에 表示한 條件으로 熔接을 行하였다. 使用된 熔接棒은 US80BN^a고 프레스는 PFH80Ae^b였다. 層別로 熔接을 해나갈 때 發生하는 스파크가 熔接缺陷이 될 可能性이 많으므로 스파크를 完全히 제거하였다.

Table 2. Welding condition

Heat input (KJ/cm)	Pre-heating temperature (°C)	Current (A)	Voltage (V)	Welding Speed (cm/min)	Wire dia. (mm)
30	200	700	35	49	4.0

熔接된 板은 所定의 크기로 切斷한 後, 2% 나이탈 溶液으로 腐蝕하여 熔接組織을 확인한 다음 Fig. 1과 같은 치수로 機械加工하였다. 노치는 壓延方向과 직각이 되도록 HAZ에 두께 0.14mm의 Cut off Wheel을 使用하여서 ASTM E740¹¹⁾에 의거, 깊이 1mm, 표면방향의 깊이 10mm의 形狀을 가진 半橢圓노치를 加工하였다.

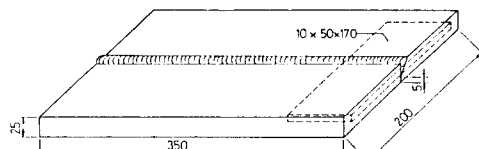


Fig. 1. Welding plate configuration and specimen dimensions

熔接後熱處理(PWHT)에 提供된 試驗片은 實驗하고자 하는 試驗片보다 0.2mm 만큼 크게 加工하여 PWHT를 실시한 後, 表面研削機를 使用하여 所定의 疲勞試驗片으로 製作하였다. Fig. 2는 热處理爐의 概略圖이며, 이 材料의 適正 热處理溫度로 알려진 650°C까지 自動溫度調節器를 使用하여 加熱하였다. 加熱速度는 220°C/hr^c며, 热處理維持時間은 1/4時間,

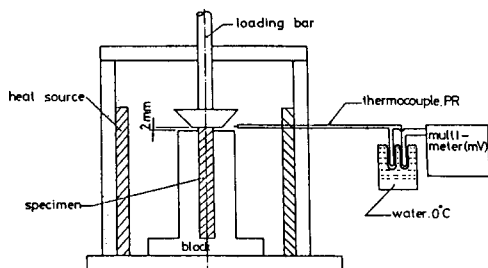


Fig. 2. Schematic diagram of heat treatment furnace

10시간의 두 종류로써 PWHT를 행한 후 끄집어내었다. 또한, 압축응력을 가하면서 열처리를 행한試驗片의製作過程은試驗片을 爐中에서 200°C까지 豫熱한 후, 10톤형 인스트론 萬能試驗機를 使用하여 크로스 헤드속도 0.2mm/min로 15kgf/mm²까지 압축응력을 加하였으며, PWHT를 행한 후에 200°C에서荷重을 제거하였다.

2-2 實驗方法

本實驗에 使用된 疲勞試驗機는 25ton型 電氣油壓式 시험기이며, 試驗片에 反復荷重을 加하는 裝置의概略圖는 Fig. 3과 같다. 疲勞試驗은 25°C 大氣中에서 最大荷重 1660kgf, 3Hz의 正弦波形으로 實施하였으며 應力比는 0.05이다. ASTM E647¹²⁾에 의거하여 初期疲勞龜裂을 만들었다. 또한 깊이방향의 龜裂進展量을 測定하기 위하여 空氣中에서 周波數의 變化가 疲勞壽命에 거의 影響을 미치지 않는다는 報告¹³⁾에 따라 一定反復回數에서 周波數(3Hz)를 15Hz로 上昇시켜 10⁴回 反復荷重을 加해서 비치마크를 나타나게 하였다. 表面方向의 龜裂길이는 移動式 測定顯微鏡을 使用하여 測定하였으며, 깊이방향의 龜裂進展量은 實驗終了後, 試驗片을 完全히 破斷한 다음 投影機를 使用하여 破斷面의 비치마크에서 읽었다.

PWHT로 因한 熔接熱影響部의 機械的 性質의 變化는 各 實驗材料의 硬度值로서 考察하였다. 硬度는 龜裂進展經路인 熔融線 近處, HAZ를 對象으로 하여 10點 以上 測定하였고, 그것의 平均硬度值를 求하였다. 硬度測定은 微小硬度計를 使

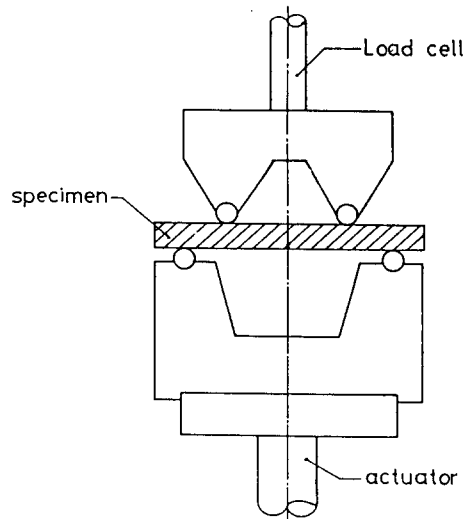


Fig. 3. Schematic diagram of bending fatigue

用하였으며, 測定荷重은 200gf이었다. 硬度測定의 結果는 Table 3과 같다.

3. 本實驗에 適用된 理論式의 檢討

三次元 龜裂인 表面龜裂을 갖는 有限平面板이 引張 및 鉛直荷重을 받을 때 Newman과 Raju는 有限要素法을 利用하여 龜裂先端의 應力擴大係數에 대한 式을 다음과 같이 수립하였다(Fig. 4 참조).

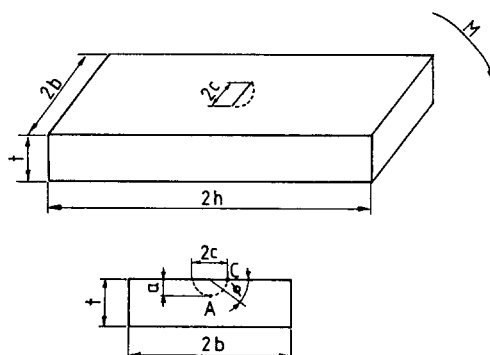


Fig. 4. Specimen dimensions and notch shape

Table 3. Hardness values(Hv)

Parent	As weld	PWHT($\frac{1}{4}$ hr)		PWHT(10hr)	
		$\sigma_n = 0\text{kgf/mm}^2$	$\sigma_n = -15\text{kgf/mm}^2$	$\sigma_n = 0\text{kgf/mm}^2$	$\sigma_n = -15\text{kgf/mm}^2$
162	185	178	201	168	181

$$K = (\sigma_t + H\sigma_b) \sqrt{\frac{\pi a}{Q}} \cdot F\left(\frac{a}{t}, \frac{c}{b}, \frac{a}{c} \cdot \phi\right) \quad (1)$$

여기서 $0 < \frac{a}{c} \leq 1.0$, $0 \leq \frac{a}{t} < 1.0$, $\frac{c}{b} < 0.5$, $0 \leq \phi \leq \pi$ 일 때 윗 식이 만족한다.

또, Q 는 Rawe⁸⁾에 의해 提案된 形狀係數로 다음과 같다.

$$\frac{a}{c} \leq 1\text{일 때 } Q = 1 + 1.464\left(\frac{a}{c}\right)^{1.65}$$

$$\frac{a}{c} > 1\text{일 때 } Q = 1 + 1.464\left(\frac{c}{a}\right)^{1.65}$$

式(1)에서 H 와 F 는 引張應力과 鉗應力이 作用할 때 修正係數로써 $\frac{a}{t}$, $\frac{c}{b}$, $\frac{a}{c}$, ϕ 의 函數이며 σ_t 는 引張應力, σ_b 는 鉗應力이다. 式(1)을 純粹鉗의 狀態에서 整理하면은 다음과 같다.

$$\Delta K = \frac{3l}{bt^2} H(P_{max} - P_{min}) \sqrt{\frac{\pi a}{Q}}. \quad (2)$$

$$F\left(\frac{a}{c}, \frac{a}{t}, \frac{c}{b}, \phi\right)$$

여기서 P_{max} : 最大荷重(kgf)

P_{min} : 最小荷重(kgf)

l : 試驗片의 支持點과 荷重作用點 사이의 거리(mm)

修正係數(H, F)의 變數中에서 離心角(ϕ)이 0과 $\frac{\pi}{2}$ 인 龜裂先端에서 應力擴大係數의 最大值와 最小值를 나타내고 있으므로 $0 < \phi < \frac{\pi}{2}$ 에서의 應力擴大係數는 考慮해 볼 필요가 없다고 생각된다. 따라서 $\phi = 0$ 일 때 C點의 應力擴大係數를 K_c 라 하고, $\phi = \frac{\pi}{2}$ 일 때 A點의 應力擴大係數를 K_a 라 하여 龜裂先端에서 두 점만을 考慮하였다. 또한 $\frac{a}{t}$ 와 $\frac{a}{c}$ 의 關係를 考慮하면 龜裂傳播時の 破斷面 形狀을 알 수 있으므로 $\frac{a}{t}$ 와 $\frac{a}{c}$ 의 關係로써 龜裂進展挙動을 檢討한다.

4. 實驗結果 및 考察

4.1. 龜裂進展量과 荷重反復回數의 關係

Fig.5는 as weld와 母材의 表面方向과 깊이 방향의 龜裂進展量과 荷重反復回數의 關係를 나타낸 경우로써, 表面方向(a)에서는 荷重反復回數의 增加와 더불어 龜裂進展量이 서서히 증가하다가 어떤 荷重反復回數에서 龜裂進展이 急增하는 現象을 보이고 있으며, as weld는 2.5×10^5 回, 母材는 4.7×10^5 回 부근에서 發生한다. 또한 龜裂進展壽命은 as weld가 4.2×10^5 回, 母材가 6.1×10^5 回로써 母材가 as weld 보다 疲勞壽命이 增加하고 있음을 알 수 있다. 한편, 깊이 방향의

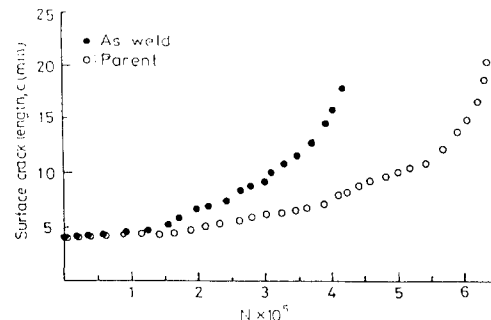


Fig. 5(a). Surface crack length vs. number of cycles

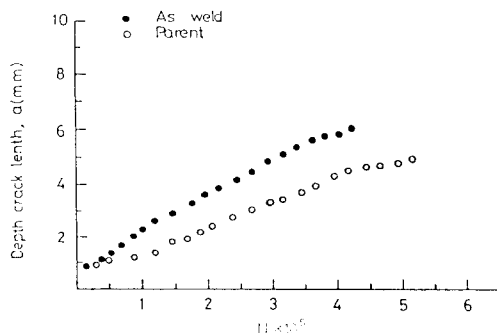


Fig. 5(b). Depth crack length vs. number of cycles

龜裂進展量과 荷重反復回數의 關係를 나타낸 것이 Fig. 5(b)로써 表面方向의 龜裂進展挙動과는 아주 다르다. 荷重反復回數의 增加와 더불어 龜裂進展이 鈍化하는 現象을 $a=5\text{mm}$ 정도에서 나타내고 있다.

Fig. 6은 as weld와 無應力下에서 $\frac{1}{4}$ 時間, 10時間의 PWHT를 行한 경우로서, as weld 보다는 PWHT材가 PWHT維持時間의 增加에 따라 疲勞壽命이 增加한다. 疲勞壽命은 $\frac{1}{4}$ 時間의 PWHT材가 4.8×10^5 回, 10時間의 것이 5.8×10^5 회로 나타났다. Fig. 7은 as weld와 無應力과 壓縮應力を 加하면서 $\frac{1}{4}$ 時間 PW-

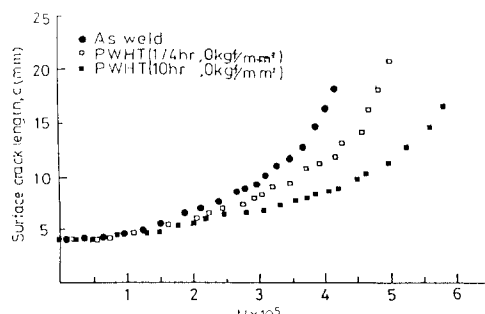


Fig. 6(a). Surface crack length vs. number of cycles

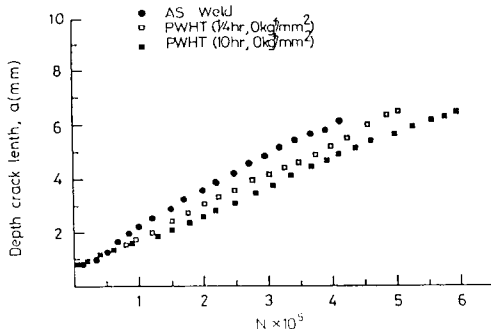


Fig. 6(b). Depth crack length vs. number of cycles

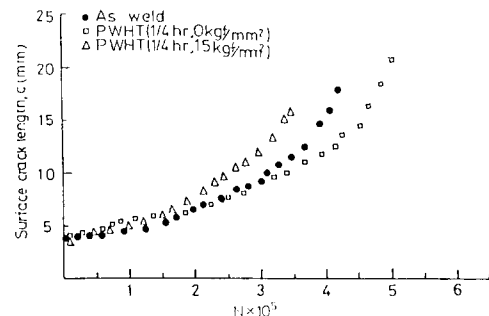


Fig. 7(a). Surface crack length vs. number of cycles

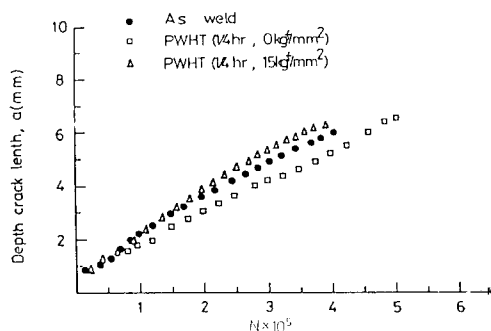


Fig. 7(b). Depth crack length vs. number of cycles

HT를 행한 경우로써 作用應力を 加한 試驗片의 疲勞壽命이 as weld의 것 보다 짧다. 또한 疲勞壽命은 as weld가 4.2×10^5 回, 無應力의 PWHT材가 4.8×10^5 回, $\sigma_n = -15 \text{kgf/mm}^2$ 의 PWHT材가 3.3×10^5 回이다. Fig. 8은 10時間 동안 PWHT를 行하면서 無應力과 壓縮應力を 加한 경우를 比較한 것으로써, 充分한 PWHT維持時間으로 因하여 as weld 보다 疲勞壽命이 길어진다. 즉, 疲勞壽命은 無應力의 PWHT材가 5.8×10^5 回, $\sigma_n = -15 \text{kgf/mm}^2$ 의 PWHT材가

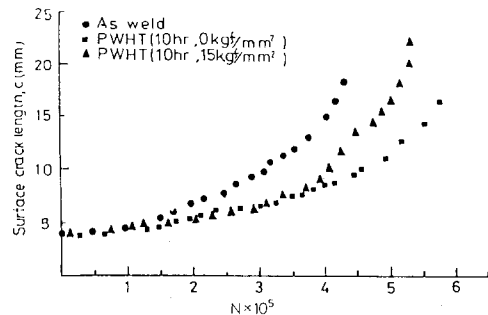


Fig. 8(a). Surface crack length vs. number of cycles

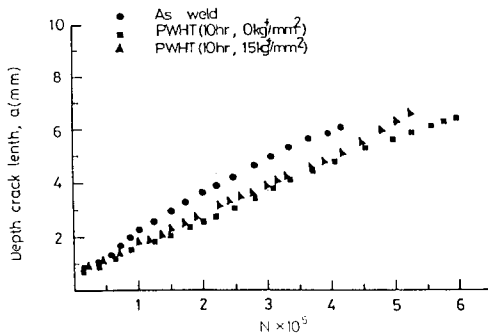


Fig. 8(b). Depth crack length vs. number of cycles

5.0×10^5 回로 나타났다.

以上의 Fig. 5, 6, 7, 8에서 나타난 바와 같이 PWHT時維持時間의增加에 따라 疲勞壽命이 길어지고, PWHT時에 作用된 壓縮應力의增加로 疲勞壽命이 짧아지는 것을 알 수 있다. 또한母材, as weld, PWHT材를 막론하고 表面方向의 龜裂進展量은 荷重反復回數의增加初期에는 서서히 증가하다가, 末期에는 急增하여 破斷에 이르게 되는 반면, 깊이 方向의 龜裂進展量은 初期에는 急增한 後 安定되게 進展하다가 龜裂길이 5mm近處에서부터 龜裂進展量의增加가 鈍化되는 傾向을 보여주고 있다. 이것은純粹屈曲下에서 表面龜裂에 對한 疲勞龜裂 進展舉動의特異性으로 볼 수 있다.

4-2. 龜裂進展率과 應力擴大係數範圍(ΔK)의 關係

構造物이 反復荷重을 받을 때 任意의 微細缺陷周圍에는 局部的應力場이 생기게 되며, 이 應力場의 크기를 나타내는 應力擴大係數範圍(ΔK)와 龜裂進展率(dc/dN , da/dN)을 關聯시키면 巨視的 疲勞進展舉動을 파악하는데 有用하다. P. Paris, J. Knott¹⁴⁾

等에 의하면 金屬材料의 疲勞龜裂進展率과 應力擴大係數範圍(ΔK)의 關係는 直線的이 아니고 3個의 領域으로 나누어 진다.

第1領域은 龜裂進展이 매우 늦고 第2領域에서는 龜裂이 安定되게 進展하며 第3領域에서는 K_{max} 가 K_{Ic}, K_c 에 收斂한다. 大部分의 金屬材料에서 疲勞龜裂傳播挙動은 第2領域에 注目하고, 또한 實際 純粹한 疲勞龜裂의 進展은 이 領域에 局限되기 때문에 本 實驗에서 얻어진 結果도 安定된 龜裂進展領域인 第2領域에서 評價하는 것이 妥當하다고 생각된다.

龜裂進展率은 ASTM E647에 의거하여 增分多項式法으로 求하였으며 應力擴大係數範圍(ΔK)와 關係는 Paris方程式을 適用하였다. 이 式에서 材料에 따라 決定되는 常數인 c 와 m 은 最小自乘法으로 求하였다.

$$\phi = 0\text{ 일 때 } \frac{dc}{dN} = c_c (\Delta K_c)^{m_c} \quad (3)$$

$$\phi = \frac{\pi}{2} \text{ 일 때 } \frac{da}{dN} = c_a (\Delta K_a)^{m_a} \quad (4)$$

試驗片의 表面($\phi=0$)에서의 龜裂進展率($\frac{dc}{dN}$)과 應力擴大係數範圍(ΔK_c)의 關係는 式③에 나타냈고, 龜裂의 最深點 $\phi=\frac{\pi}{2}$ 에서의 龜裂進展率($\frac{da}{dN}$)과 應力擴大係數範圍(ΔK_a)의 關係는 式④에 나타냈다. 여

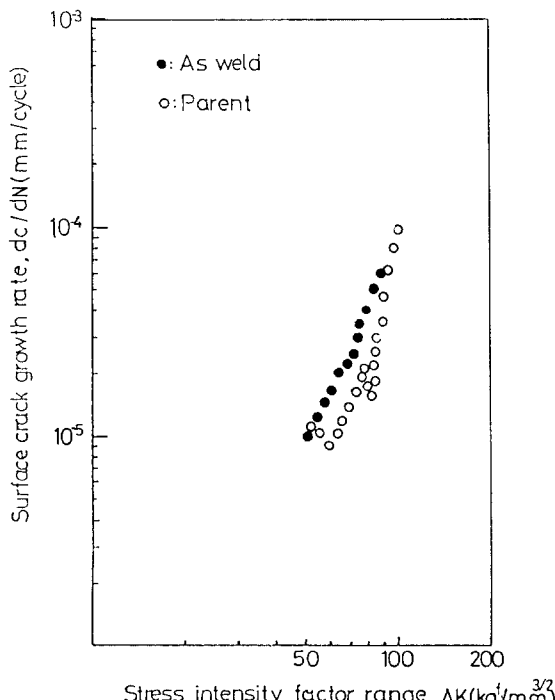


Fig. 9(a). Surface crack growth rate vs. stress intensity factor range

기서 c_c, c_a, m_c, m_a 는 試驗片의 材料, 表面狀態, 形狀 및 치수 等에 의해서 決定되는 常數이다.

Fig. 9(a)는 母材와 as weld의 表面에서 龜裂進展率(dc/dN)과 應力擴大係數範圍(ΔK_c)의 關係를 나타낸 것으로써 as weld가 母材보다 龜裂進展率이 全般的으로 크게 나타나고 있다. 이러한 原因은 Table 3에 볼 수 있는 바와 같이 母材의 硬度值가 as weld 보다 작기 때문에 龜裂先端에 塑性場의 形成이 용이하기 때문에 생겨난다. 한편, Fig. 9(b)는 as weld 狀態와 이를 無應力下에서 $\frac{1}{4}$ 時間과 10時間 PWHT를 行한 경우로, PWHT時 維持時間의 增加에 따라一定한 應力擴大係數範圍(ΔK_c)에서 龜裂進展率($\frac{dc}{dN}$)이 減小함을 나타내고 있다. 이는 PWHT로 因한 材料의 軟化(Table 3 참조) 및 残留應力의 풀림으로 因하여 as weld보다 龜裂進展率이 작게 나타난다. Fig. 9(c)는 15kgf/mm²의 壓縮應力を 加하면서 $\frac{1}{4}$ 時間과 10時間 동안 PWHT를 行한 경우로써 10時間의 PWHT材, as weld, $\frac{1}{4}$ 時間의 PWHT材 順으로 龜裂進展率이 增加하고 있다. 또한 Table 3에서 볼 수 있는 바와 같이 硬度도 龜裂進展率의 增加順으로 增加한다. 이는 PWHT時에 作用應力으로 因한 熔接部의硬化 때문에 解析할 수 있다. 應力擴大係數範圍가

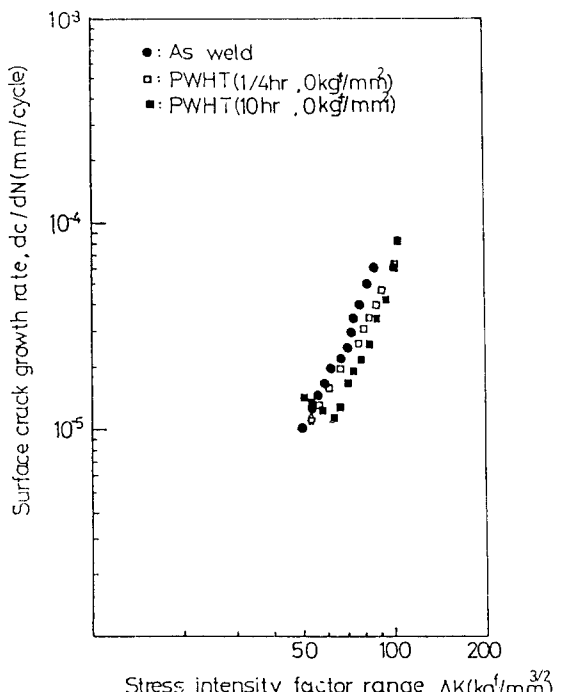


Fig. 9(b). Surface crack growth rate vs. stress intensity factor range

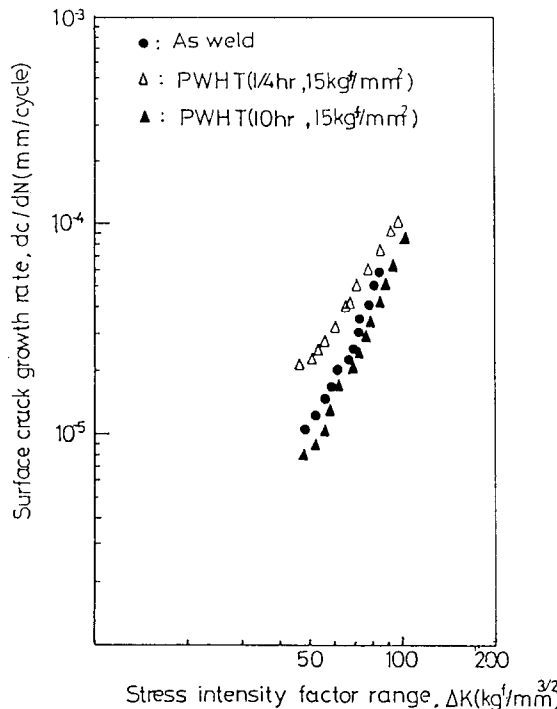


Fig. 9(c). Surface crack growth rate vs. stress intensity factor range

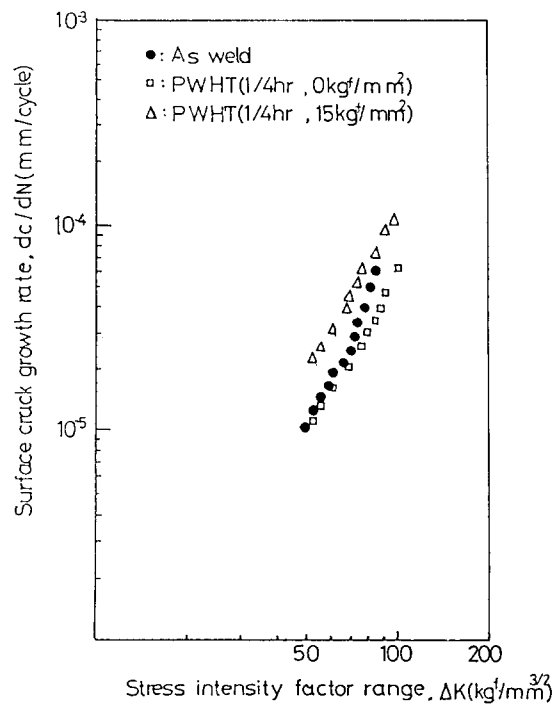


Fig. 9(d). Surface crack growth rate vs. stress intensity factor range

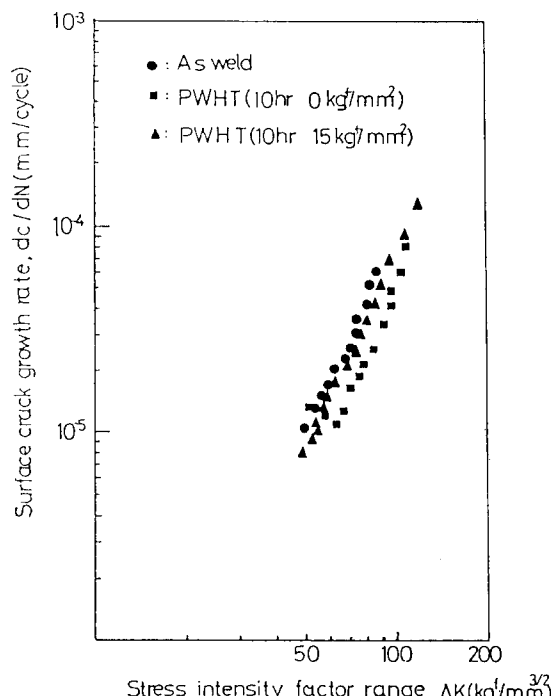


Fig. 9(e). Surface crack growth rate vs. stress intensity factor range

작은 구역에서 PWHT時の維持時間이 龜裂進展率에 현저한 影響을 주고, 應力擴大係數範圍가 增加함에 따라 그 폭이 減小하고 있다. Fig. 9(d)는 $0\text{kgf}/\text{mm}^2$ 과 $15\text{kgf}/\text{mm}^2$ 의 壓縮應力を 加하면서 $\frac{1}{4}$ 時間의 PWHT를 實施한 경우를 比較한 것으로 $15\text{kgf}/\text{mm}^2$ PWHT材, as weld, $0\text{kgf}/\text{mm}^2$ PWHT材의 順으로 龜裂進展率이 減小하고 있다. 또 이들에 대한 硬度值도 위의 材質順으로 減小하고 있으며, 이는 短은 PWHT 維持時間과 作用應力의 相互作用으로 HAZ組織의 硬化에 影響을 미치고 있는 것으로 考察된다. 한편 維持時間 10時間, $\sigma_n = 0\text{kgf}/\text{mm}^2$ 과 $\sigma_n = -15\text{kgf}/\text{mm}^2$ 의 경우를 Fig. 9(e)에서 볼 수 있듯이 龜裂進展率은 $\sigma_n = 0\text{kgf}/\text{mm}^2$, $15\text{kgf}/\text{mm}^2$ PWHT材, as weld의 順으로 增加하는 경향을 보이고 있어서 앞선 $\frac{1}{4}$ 時間의 PWHT材와는 다른 樣相을 보이고 있다. 즉, 壓縮應力を 받은 PWHT材가 $0\text{kgf}/\text{mm}^2$ 의 PWHT材보다 龜裂進展率이 增加하고 있음은 앞선 Fig. 9(d)와 유사하나 $15\text{kgf}/\text{mm}^2$ 의 PWHT材는 as weld와 비슷한 龜裂進展舉動을 보이고 있다. 이는 長時間 동안 PWHT를 實시하였을 때 作用應力은 組織의 硬化를 誘發하여 龜裂進展의 举动에 影響을 미친 것으로 解析할 수 있다.

以上에서 PWHT材의 表面龜裂 進展舉動은 PWHT時의 作用應力 및 維持時間에 依存性이 있음을 확인할 수 있었다. 이에 對하여 깊이方向으로는 龜裂進展率($\frac{da}{dN}$)과 應力擴大係數範圍(ΔK_a)의 關係를 살펴보면 Fig. 10과 같다. 이 線圖에서 ΔK_a 와 $\frac{da}{dN}$ 의 關係는 광범위하게 散布되어 있어서 Paris方程式의 適用이 困難하다.

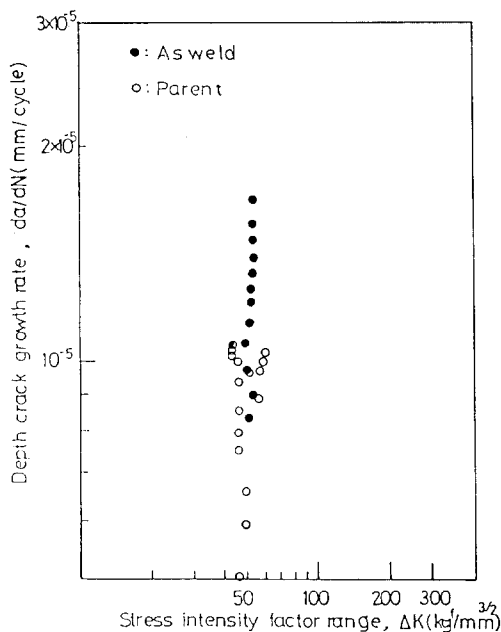


Fig. 10. Depth crack growth rate vs. stress intensity factor range

다시 表面方向($\phi=0$)에서 龜裂進展의 举动을 Paris方程式에 適用하여 살펴보면 式中의 常數인 c_c, m_c 는 Table 4에서 볼 수 있듯이 材質依存性이 있으며, Table 3에 表示한 各 試驗片材料의 硬度值와 比較해 보면 硬度의 大小順序에 따라 m_c 값도 同一한順序로 나타나고 있다. 이것은 硬度가 작은 材料일수록 m_c 가 크다는 것이 즉, 龜裂進展의 加速이 큰 것을 나타낸다.

Tabel 4. Values of c_c, m_c

	Parent	As weld	PWHT($\frac{1}{4}$ hr)		PWHT(10hr)	
			$\sigma_n = 0 \text{ kgf/mm}^2$	$\sigma_n = -15 \text{ kgf/mm}^2$	$\sigma_n = 0 \text{ kgf/mm}^2$	$\sigma_n = -15 \text{ kgf/mm}^2$
c_c	2.09×10^{-17}	3.09×10^{-11}	10^{-11}	4.58×10^{-9}	5.08×10^{-16}	2.36×10^{-11}
m_c	6.3	3.269	2.873	2.174	5.46	3.25

4-3. 龜裂斷面形狀과 龜裂進展舉動의 關係

表面龜裂은 깊이方向의 龜裂길이의 測定이 어려우므로 鋼材의 種類, 使用環境에 따라 龜裂이 어떠한斷面形狀을 가지고 進展하는지를 파악함으로써 表面方向의 龜裂길이의 測定으로 깊이方向의 龜裂길이를 알 수 있다.

따라서, Newman과 Raju의 式中에서 修正係數 F 와 H 의 因子 가운데 $\frac{a}{t}$ 와 $\frac{a}{2c}$ 의 關係를 Fig. 11에 나타냈으며, 깊이방향의 龜裂進展에 따라 龜裂斷面이 어떠한 形狀으로 破斷되어 가는지를 파악해 볼 수 있다. Fig. 11(a)는 母材와 as weld의 경우로 as weld가 母材보다 半橢圓形에 가까운 龜裂斷面으로 進展하는 樣相을 나타내고 있다. Fig. 11(b)는 無應力下

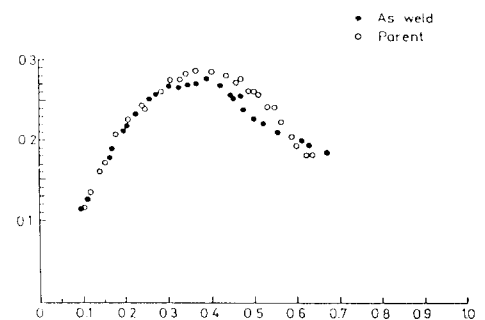


Fig. 11. (a). Aspect ratio of the semielliptical crack vs. crack

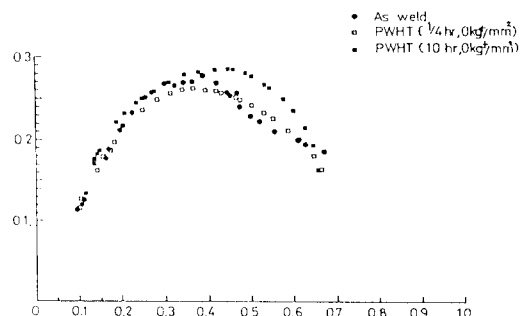


Fig. 11. (b). Aspect ratio of the semielliptical crack vs. crack

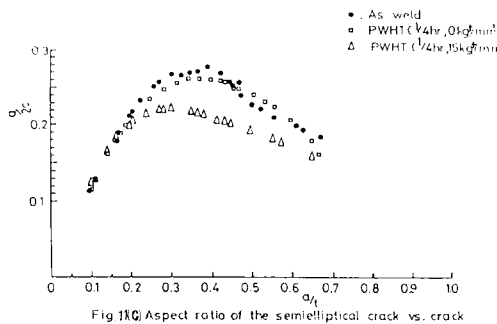


Fig. 11.(c). Aspect ratio of the semielliptical crack vs. crack

에서 $\frac{1}{4}$ 시간과 10시간 PWHT를 행한 경우로써 PWHT時維持時間의增加에 따라半橢形에接近하는龜裂進展을 보이고 있다. 이것은 PWHT時의維持時間의增加로材質의軟化를초래하여서깊이方向으로龜裂進展이용이하다고판단된다.一定維持時間下에서PWHT를행할때作用應力의有無에따른舉動을살펴보면다음과같다. 먼저, Fig.11(c)는維持時間 $\frac{1}{4}$ 시간의경우로써龜裂斷面은橢圓形으로되어, 깊이방향보다는表面에서의龜裂進展이빠름을보여주고있다. 이것은PWHT時作用應力으로因한硬度의增加때문에as weld보다 깊이방향의龜裂進展이어렵기때문이라고생각된다.

Fig. 11(d)는無應力과壓縮應力を加하면서10시간의PWHT를행한경우로써, 壓縮應力を받은材料는as weld에비슷한龜裂進展斷面舉動을나타내고있다. 이것은PWHT時의維持時間에關係된材料의軟化와壓縮應力에依한hardening의相互作用의相殺로서as weld와비슷한舉動을보이는것으로판단된다.

5. 結論

SS41鋼熔接部疲勞壽命에 미치는 PWHT時의維持時間과作用應力의影響을파악고자 HAZ에半橢圓노치를加工한後,純粹굽힘下에서疲勞試驗을行하여다음과같은結論을얻었다.

(1) 初期에는龜裂이 깊이 방향으로 먼저進行하고,荷重反復回數의增加에 따라表面方向에서龜裂進展率이커지며 깊이 방향으로는減小한다.

(2) 疲勞壽命은 as weld, PWHT材,母材의順으로增加한다.

(3) 試驗片의表面에서는荷重反復回數의增加와

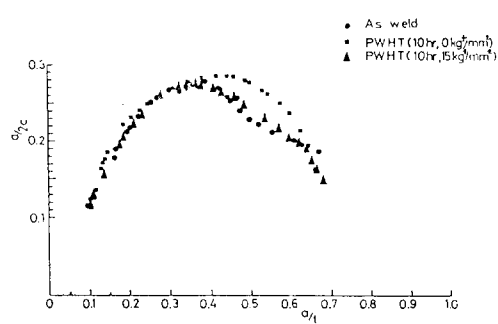


Fig. 11(d). Aspect ratio of the semielliptical crack

더불어龜裂進展量은增加하나, 길이방향에서는板두께의中央部에龜裂이接近할수록龜裂進展量의增加가鈍화한다.

(4) 表面에서PWHT試驗片의龜裂進展率은PWHT時의維持時間과作用應力에依存한다. 즉, PWHT時의維持時間이길어지면龜裂進展率은減小하며,作用應力의增加는龜裂進展率을增加시킨다.

(5) 龜裂이增加함에 따라形成된斷面形狀은母材에서는半圓形에접근하나,PWHT時에作用應力を받으면橢圓으로접근하여PWHT($\frac{1}{4}$ hr, 15kgf/mm²)의경우가長半徑이가장큰半橢圓에가까워진다.

(6) 깊이방향에서龜裂進展率과應力擴大係數範圍사이關係데이타의分布가散布되어있으므로Paris方程式의適用이困難하다.

謝 謝

本研究는'86年度韓國科學財團의研究費支援에의해서 이루어진結果의一部로써, 이研究를遂行할수 있도록支援하여주신財團에真心으로感謝를드립니다. 아울러實驗을도와준全北大學校工科大學助教金燭군을비롯한材料實驗室여러분에게感謝를드립니다.

參 考 文 献

1. F. M. Burdekin: "Initiation of brittle fracture in structure steel." Welding Journal, Vol.12 (1967), pp. 647-659.
2. J. Kameda, H. Takahashi and M. Suzuki: "Residual stress relief and local embrittlement of weld HAZ in reactor pressure vessel steel." IIW Doc No X-800-76 and Doc No N-1002-76

- (1976).
3. A Joshi and D.F. Stein: "Temper embrittlement of low alloy steels." STP499(1972), 19 72.
 4. 林載圭·鄭世喜, "Cr-Mo鋼 熔接熱影響部의 破壞 韌性에 미치는 熔接後熱處理의 影響(II)", 大韓 機械學會 論文集 第9卷 1號(1985), pp. 40-46.
 5. 金京洙·林載奎·鄭世喜, "鋼熔接部의 疲勞挙動에 미치는 熔接後熱處理 및 應力比의 影響", 大韓 熔接學會誌, 第5卷, 第3號(1987), pp. 53-61.
 6. Smith, F.W. and Sorenson, D.R.: "Mixed mode stress intensity factors for semielliptical surface crack." NASA, CR-134684(1974).
 7. Kobayashi, A.S.: Polvanich, N.; Emen, A.F. and Love, W.J.: "Surface flaws in a plate in bending." Proceeding 12th annual meeting of the society of engineering science(1975), pp. 343-351.
 8. Newman, J.C. Jr. and Raju, I.S.: "Analysis of surface cracks in finite plates under tension and bending loads." NASA TP-1578(1979).
 9. Nishioka, Kunio; Hirakawa, Kenju; Kitaura Ikushi. "Fatigue crack propagation behaviours of various steels." The Sumitomo search No. 17, May 1977, pp. 39-55.
 10. Pierce, W.S. and Shannon, J.L.Jr.: "Surface crack shape change in bending fatigue using inexpensive resonant fatigue apparatus." J. Test & Eval, Vol. 6, No. 3, (1978), pp. 183-188.
 11. "Fracture testing with surface crack tension specimens." ASTM, E740.
 12. "Tentative test method for constant load amplitude fatigue crack growth rates above 10^{-8} m /cycle." Annual Book of ASTM, E-647.
 13. Stanley T. Rolfe and John M. Barsom: "Fracture and fatigue control in structures." Prentice-Hall(1977), pp. 249-251.
 14. J.F. Knott: "Fundamentals of fracture mechanics." p. 246.